

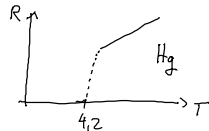
# Bemerkungen / Nachtrag zur Supraleitung

• Im allgemeinen ist Leitfähigkeit eines Festkörpers durch Streuprozesse der Elektronen gegeben (durch Impulsänderung wird Transport behindert)

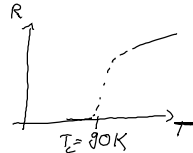
• man kann zeigen Widerstand  $R(T) = R_0 + \alpha T^2 + b T^5$  T: Temperatur

$\uparrow$  Elektron-Elektron Streuprozesse  
 $\nwarrow$  Elektron-Phonon Streuprozesse

• Exp. Beobachtung



plötzlich fast verschwindender Widerstand



$YBa_2Cu_3O_{7-x}$

• Erklärung durch attraktive e-e-WW von 2 Elektronen (restliche Elektronen werden als Hintergrund betrachtet)

• Ausgangspunkt: Frölich-Hamiltonian  $(x_i, p_i)$

+ Annahme nur zWW Elektronen mit  $k' = -k$  also Gesamtimпульс  $K = k + k' = 0$

+ Mean field Faktorisierung

+ Koordinaten transformation

Elektronen

$$\alpha_k = u_k a_{+k\uparrow} - v_k a_{-k\downarrow}$$

neue Quantenzustände

$$\beta_k = u_k a_{-k\downarrow} + v_k a_{+k\uparrow}$$

↳ effektiver 1-Teilchen Hamiltonian

$$H_{eff} = \sum_k \sqrt{\epsilon_k^2 + |\Delta|^2} (\alpha_k^\dagger \alpha_k + \beta_k^\dagger \beta_k) + \sum_k (\epsilon_k - \sqrt{\epsilon_k^2 + |\Delta|^2}) + \frac{|\Delta|^2}{V}$$

• wobei  $u_k, v_k$  so gewählt, dass

$\alpha_k, \beta_k$  die Fermionen

Vertauschungsrelationen erfüllen!

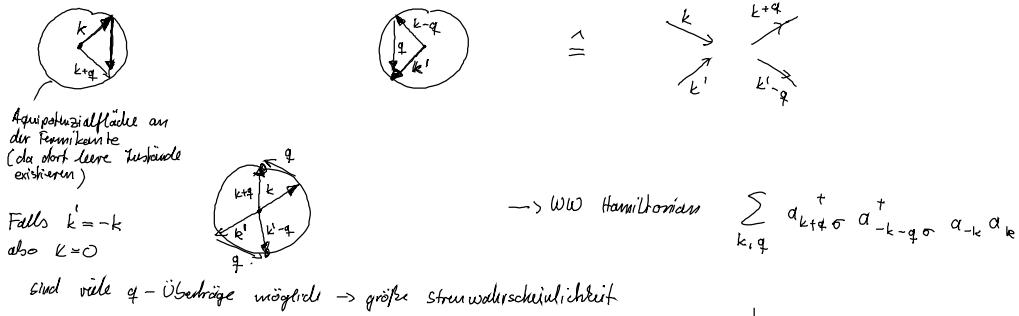
$\alpha_k, \beta_k$  sind Fermionen und wird die Cooper Paare

$$\Delta = V \sum_k \langle a_{-k\downarrow} a_{+k\uparrow} \rangle_{eff}$$

"Ordnungsparameter" muss selbstkonsistent bestimmt werden.

Ausgangszustände  
 $\downarrow \downarrow$

Streuung von 2 Elektronen  $(k, k')$



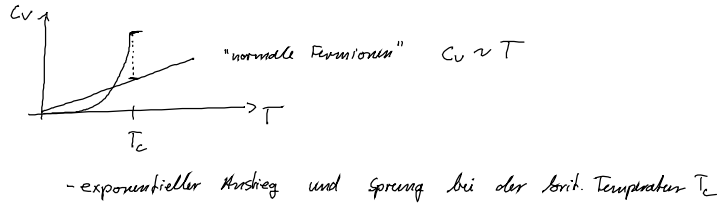
BCS Hamiltonian:

$$\sum_{k, k'} V_{kk'} a_{k'\uparrow}^\dagger a_{-k'\downarrow}^\dagger a_{-k\downarrow} a_{k\uparrow}$$

Endzustand

• Cooper Pair wird gebildet aus beiden Anfangszuständen und ist ein bosonisches Teilchen.

$\rightarrow$  Heff. liefert Zustandssumme des Fermionenensembels und die Wärmekapazität



## 6.2. Wechselwirkung mit Licht

### 6.2.1. Dichtematrix (statistischer Operator) und Verteilungsfunktionen

Quantenmechanisches Gemisch

(unvollständige Info über Mikrozustand)  
 d.h. Wahrscheinlichkeitsverteilung  $P_i$  über mögliche Zustände  $|\psi_i\rangle \in \mathcal{H}^{\text{red}}$

Mittelwerte  $\langle \hat{M} \rangle = \sum_i P_i \langle \psi_i | \hat{M} | \psi_i \rangle$  mit  $\sum_i P_i = 1$

$$= \sum_j \sum_i P_i \langle \psi_j | \psi_i \rangle \langle \psi_i | \hat{M} | \psi_j \rangle$$

$$= \sum_j \langle \psi_j | \hat{\rho} \hat{M} | \psi_j \rangle$$

$$\langle \hat{M} \rangle = \text{tr}(\hat{\rho} \hat{M})$$

statistischer Operator  $\hat{\rho}$  Dichtematrix

$$\hat{\rho} := \sum_i P_i |\psi_i\rangle \langle \psi_i|$$

wobei  $\text{tr} \hat{\rho} = 1$   
 $\hat{\rho}^2 \neq \hat{\rho}$  (gleich falls  $\hat{\rho}$  einen reinen Zustand beschreibt)  
 $\text{tr} \hat{\rho}^2 < 1$   
 $\hat{\rho}^\dagger = \hat{\rho}$

QM Gemisch = inkohärente Überlagerung von reinen Zuständen

Bsp.: 1 Teilchen im 2 Niveausystem :  $\hat{\rho} \equiv 2 \times 2$  Matrix

Liouville - von Neumann Gleichung

$$\frac{\partial \hat{\rho}}{\partial t} = -\frac{i}{\hbar} [\hat{H}, \hat{\rho}]$$

(im Schrödingerbild),  
Zustände sind zeitabhängig  
ist  $|\psi_i\rangle = \hat{A} |\psi_i\rangle$

Bem: ① im Heisenbergbild steckt Dynamik in den Operatoren

$$\frac{d\hat{A}_H}{dt} = \frac{i}{\hbar} [\hat{H}_H, \hat{A}_H] + \frac{\partial \hat{A}_H}{\partial t}$$

② Physikalisch ist oft vor allem Dynamik der Mittelwerte (Messwerte) wichtig  
Ehrenfest Theorem

$$\frac{d}{dt} \langle \hat{A} \rangle = \left\langle \frac{i}{\hbar} [\hat{H}, \hat{A}] + \frac{\partial \hat{A}}{\partial t} \right\rangle \quad \text{Bildunabhängig!}$$

Verteilungsfunktion der Elektronen und Löcher

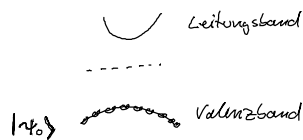
Betrachte  $\langle a_k^\dagger a_k \rangle \equiv$  Mittelwert des Besetzungszahloperators im gemischten Zustand  $\hat{\rho} = \sum_i p_i |\psi_i\rangle \langle \psi_i|$

mögliche Verteilung der Elektronen im Zustand k

$|\psi_i\rangle \in \mathcal{H}^F$   
↑

Vielteilchensystem

z.B. Halbleiter : Grundzustand bei  $T=0$



$$\langle a_k^\dagger a_k \rangle = \text{tr}(\hat{\rho} a_k^\dagger a_k) = \sum_i p_i \underbrace{\langle \psi_i | a_k^\dagger a_k | \psi_i \rangle}_{n_k^i}$$

Besetzung des 1-Teilchen Zustandes k wenn System im Vielteilchenzustand  $|\psi_i\rangle$  ist.

$$n_k^i = 0, 1$$

$$= \sum_i p_i n_k^i$$

$$= f_e(\epsilon_k) \quad \text{Elektronen Verteilungsfunktion}$$

Maximum von  $f_e(k)$ :

$$n_k^i = 1 \rightarrow f_e(k) = \sum_i p_i = \underline{\underline{1}}$$

-  $f_e(k)$  ist Wahrscheinlichkeit, ein Elektron bei k zu finden.

→ im reinen Zustand  $f_e(k) = 0$  oder  $1$

im Gemisch  $0 \leq f_e(k) \leq 1$

im thermodynamischen Gleichgewicht ist  $f_e(k)$  die Fermi-Funktion

• Analog  $\langle d_k^+ d_k \rangle = f_h(k)$  Loch-Verteilungsfunktion  
 ↑  
 Erzeuger eines Defektelektrons (Loch)

• Bem. Falls Spin als Quantenzahl betrachtet wird  $f_e(k) = \frac{1}{2} \sum_s \langle a_{k,s}^+ a_{k,s} \rangle$

### 6.2.2. Semiklassische WW mit Licht

- WW mit opt. Lichtfeld verursacht Abweichungen der Elektronenverteilung  
 beschreibbar durch Ham. Op.  $\hat{H}_{opt}$
- Dipolkopplung an elektrisches Feld  $\underline{E}(r,t)$  (z.B. Laserpulse)

$$\hat{H}_{opt} = e \hat{r} \cdot \underline{E}(r,t) \quad \text{mit qm. el. Dipoloperator}$$

(halbklassisch: keine Feldquantisierung des Lichts)

#### Polarisierung des Halbleiters

qm. Dipoldichte

$$\hat{\underline{P}}(r,t) = e \hat{\psi}^+(r,t) \underline{r} \hat{\psi}(r,t)$$

$\hat{\psi}^+, \hat{\psi}$  sind Feldoperatoren des Elektronensystems

Def.: makroskopische Polarisation  $\underline{P}$  als Erwartungswert des Dipoloperators

$$\underline{P}(r,t) = \langle \hat{\underline{P}} \rangle = \langle e \hat{\psi}^+(r,t) \underline{r} \hat{\psi}(r,t) \rangle$$

$$\hat{\psi}(r,t) = \sum_{n\mathbf{k}} a_{n\mathbf{k}} \psi_{n\mathbf{k}}(r)$$

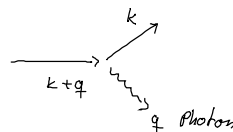
↑  
 Blochfunktion  
 $\psi_{n\mathbf{k}}(r) = e^{i\mathbf{k}\cdot\mathbf{r}} u_{n\mathbf{k}}(r)$

$$\hat{\underline{P}}(r,t) = \sum_{\substack{n\mathbf{k} \\ n'\mathbf{k}'}} a_{n\mathbf{k}}^+ a_{n'\mathbf{k}'} \psi_{n'\mathbf{k}'}^*(r) \underline{r} \psi_{n\mathbf{k}}(r)$$

Fouriertrafo  $\hat{\underline{P}}(\mathbf{q},t) = \int d^3r \hat{\underline{P}}(r,t) e^{-i\mathbf{q}\cdot\mathbf{r}}$

Def.: el. Dipolmatrixelement  $\underline{\mu}_{nn'}(\mathbf{k},\mathbf{k}') = \frac{1}{V} \int d^3r u_{n\mathbf{k}}(r) \underline{r} u_{n'\mathbf{k}'}(r)$

$$\langle \hat{\underline{P}}(\mathbf{q},t) \rangle = \underline{P}(\mathbf{q},t) = - \sum_{nn'\mathbf{k}} \underline{\mu}_{nn'}(\mathbf{k}) \langle a_{n\mathbf{k}}^+ a_{n'\mathbf{k}+\mathbf{q}} \rangle$$



Näherung für opt. Grenzfall:

(1)  $\hbar\omega \gg 0$  (Impuls der Photonen klein gegen Quasi-Impuls der Elektronen)

(2) Bandkantenoptik  $\hbar\omega \approx E_G$   
Photon  $\uparrow$   $\downarrow$  Bandlücke

$\rightarrow$  nur Interbandübergänge (LB  $\rightleftharpoons$  VB)

Elektron-Loch-Bild:

$$\underline{P}(0,t) = \underline{P}(t) = \sum_{\underline{k}} \mu \left( \langle d_{\underline{k}} a_{\underline{k}} \rangle + \langle a_{\underline{k}}^{\dagger} d_{\underline{k}}^{\dagger} \rangle \right)$$

mikroskop.  
Polarisation